

## II-26 空気壁による防潮（特に並列空気壁の効果について）

坂出工業高校

正会員

横田 一秋

### 1. まえがき

近來河川下流部または海岸地帯の総合開発が重要視され、海岸地帯の都市化と工業地帯の土地造成などで水資源の需要が一層増大している。これに連連して河口部に貯水池を設けるという、いわゆる河口湖の構想が各地で立てられるようになつた。この場合湖内に船が出入ることも当然あり得ることで、それには防潮上一つまたは二つの水門（閘室をつくる）を用いることもあるが他の方法として水路底部から空気を放出して空気壁をつくることが考えられる。この方法は最初に実施したのがオランダの閘室での G. Abraham と P. v.d. Burgh による現地実験であろう。<sup>1)</sup> さらに Henry B. Simons はアメリカのニューヨーク湾とハドソン河口およびデラウェア河口部の大形模型による実験がある。<sup>2)</sup> 筆者もこれに連連して河口湖開発調査研究委員として若干この点について言及したが、<sup>3)</sup> その後並列効果について実験研究を加えたものについてここに要約する。

空気壁の効果は上述のように①塩水の河道内侵入を減少させる、ほかにつぎの諸点がある。②水門のように水路の障害にならない。③施設、構造が簡単で建設費が安い。④波高を小さくする。⑤水質の向上と保全（淨水作用）。⑥水の上下部の機能（停滯域の防止、冰結防止）。⑦河床の土砂の移動（河床対策）。⑧フランジ効果（漂着物の拡散、分散）など考えられる。とくに公害对策と連連して空気エネルギーの高効率的利用は今後大いに検討されようまで、並列効果の新しい研究意義があらう。

### 2. 実験装置と実験の方法

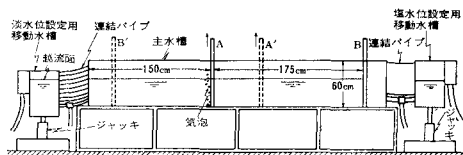


図1. 実験装置

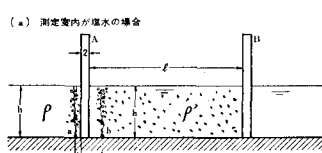
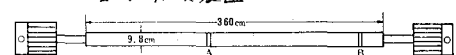


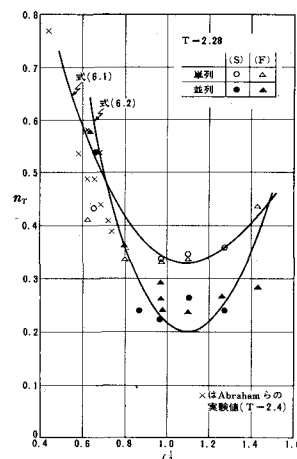
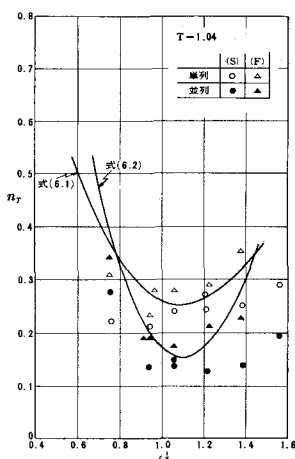
図2. 実験測定室

図1に装置の概要を示す。主水槽は片面ガラス張りで自由に上下できる隔壁(AまたはA')で仕切る。その両側に測定に当つては左側が淡水、右側が塩水を所定の水位に設定できる。気泡は径5 mmのパイプに径1 mmの穴が等間隔に10箇あけてあるものを水路に直角に設置してある。空気はコンプレッサーからテバーパイプ式流量計で送られる。塩水は比重1.024のものを使用した。図2に測定室内が塩水の場合と淡水の場合および気泡の設置状態を示す。単列(1列)では2の位置で、並列では2とbの位置である。

実験の手順はまずA, B (A', B')の門扉で測定室を設定して、室内外の水位(h)を同じ高さに慎重に合わせて、所定の空気量( $Q_a$ )を泡出した状態で、所定時間(t)だけA (A')を開閉した。空気量はわずかの変動も常時補正した。A (A')を開閉すれば直ちに測定室内を十分攪拌混合して室内中央中心部の比重( $p''$ )を測定した。

### 3. 測定値の整理

$\rho$ : 塩水密度(比重),  $\rho'$ : 淡水密度(比重),  $h$ : 水位 cm,  $l$ : 測定室長さ cm,  $Q_a$ : 泡出空気量 cc/s,  $t$ : 測定時間 sec,  $f^{\frac{1}{2}} = (g_a g)^{\frac{1}{2}} / (e g h)^{\frac{1}{2}}$ ,  $T = t / (4l) \cdot (e g h)^{\frac{1}{2}}$ ,  $e = (\rho' - \rho) / \rho$ ,  $g_a$ : 単位巾当りの空気量,  $g$ : 重力加速度,  $\rho''$ : 測定時間後の室内密度(比重),  $\rho'' - \rho$ : 塩水室の測定前後の密度差,  $\rho'' - \rho$ : 淡水室の測定前後の密度差,  $D$ : 並列の間隔 cm,  $C$ : 測定室の区別で (S) が塩水室で (F) が淡水室とする。 $U_t$ : 測定室の密度差の度合(交接度)で塩水室の場合が  $(\rho'' - \rho) / (\rho' - \rho)$  で淡水室の場合が  $(\rho'' - \rho) / (\rho' - \rho)$ ,  $U_t'$ : 気泡を泡出しないときの ( $Q_a = 0$ ) の  $U_t$ ,  $n_T = U_t / U_t'$ 。



並列の場合

$$n_T = (-8.86 F^{\frac{1}{2}} + 0.186 F^{-\frac{1}{2}} + F^{\frac{3}{2}}) + 0.6 (0.2 + 0.05 T)$$

$$F = 0.6 (1 + h/H_0)^{-\frac{1}{2}} f^{\frac{1}{2}}$$

実験結果の一例を Abraham らの方法で示したのが図3である。並列の間隔は別の実験考察から  $D/h \approx 1 \sim 2$  程度にした。図中の曲線は Abraham らの式を少しう補正したときのものである。(もちろん Abraham らの実験と式は単列である。)

#### 単列の場合

$$m_T = \left. \begin{aligned} & (-0.86 F^{\frac{1}{2}} + 0.186 F^{-\frac{1}{2}} + F^{\frac{3}{2}}) \\ & + (0.2 + 0.05 T) \end{aligned} \right\} (6.1)$$

$$F = 0.6 (1 + h/H_0)^{-\frac{1}{2}} f^{\frac{1}{2}}$$

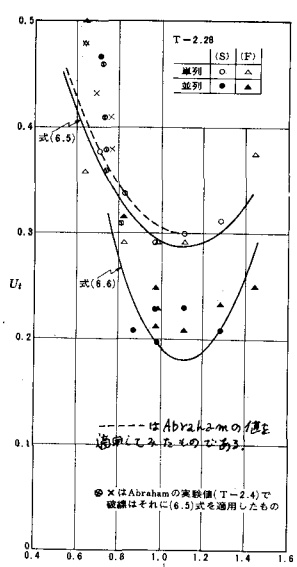
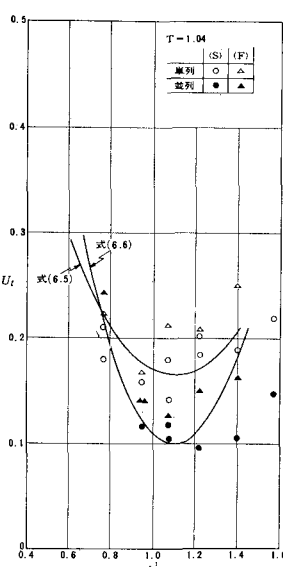


図4.  $U_t$  と  $f^{\frac{1}{2}}$  の関係

上式はいづれも概ね  $0.5 < f^{\frac{1}{2}} < 1.5$  の範囲に適用され,  $H_0$  は水柱での大気圧である。

図4は  $U_t'$  の値の関係を除外された方法で示したもので、(S) と (F) の実験値が接近して表れ Abraham らの値もさらに今回の特性に近づく。図中の曲線は簡単実用式として導いたときのものである。

$$(单列) U_t = (f^{\frac{1}{2}} - 1.1)^2 + 0.1(T + 0.6) \cdots (6.5)$$

$$(並列) U_t = 2(f^{\frac{1}{2}} - 1.1)^2 + 0.6[0.1(T + 0.6)] \cdots (6.6)$$

以上のことから同一空気量を2分して並列にすれば  $f^{\frac{1}{2}} = 1.0 \sim 1.2$  附近で非常に効率よく淡水の混合を阻止することが明確になつた。

#### 4. 文獻

- 1) G. Abraham and P.v.d. Burgh, Pneumatic Reduction of Salt Intrusion through Locks. (1964)
- 2) Henry B. Simmons, Potential Benefits of Pneumatic Barriers in Estuaries. (1967)
- 3) 橫田一秋, 「防潮の玄水門操作と逆滌水二層の流れ」, 三河口湖工学基礎編 (昭和43年)